

# 自动装置中的 微电机

I.O. C. 切切特著



国防工业出版社

# 自动装置中的微电机

I.O. C. 切切特著

电器科学研究院电机研究室譯



国防工业出版社

1961

本书闡述了自動裝置中用的一些主要类型的微电机——伺服电动机、  
測速发电机、迴轉变压器、同步联結微电机，研究它們在自动化线路中使用  
时的理論問題与实际問題。

本书供电机及动力系之大学生以及在自动化、遙控、計算解答技术部門  
工作的工程师、技术員作参考用。

苏联 Ю. С. Чечет 著 ‘Электрические микромашины авто-  
матических устройств’ (Госэнергоиздат 1957第一版)

\* \* \* \* \*  
人民教育出版社 出版  
北京市书刊出版业营业許可證出字第 074 号  
人民教育印刷厂印刷  
新华书店科技发行所发行 各地新华书店經售

\*  
787×1092 1/16 印張 13 1/2 310 千字  
1959 年 5 月第一版  
1961 年 10 月第二版第二次印刷  
印数：7,601—11,600 册 定价：(11) 1.55 元  
统一书号 15034·523

## 給中國讀者

現代化的自動化遙控及計算-介答裝置中運用着一系列的電機元件，它們能夠保證線路可靠和準確的工作。

本書的任務是介紹這類元件的工作原理及使用特性。

如果我的這一點勞動在偉大的中華人民共和國——我們蘇聯人民對它有著深厚的兄弟般的感情和真誠的友誼——的建設工作中，能夠對中國兄弟的研究工作者有一些幫助的話，這對我將是最大的愉快。

Ю·切切特教授

莫斯科 1958年12月29日

## 前　　言

苏联共产党第二十次代表大会关于 1956~1960 年苏联发展国民经济第六个五年计划的指示中，整个第二部分都是阐述生产过程的机械化和自动化。此外，在其它的部分中（机床制造、重型机器制造、无线电及仪表制造工业等）均有关于自动化的指示，第一部分讲到：“……5 年内，自动化的仪器和工具的产量大约增加 2.5 倍”。由此可见，党和政府是十分重视我国的自动控制、遥控和计算解答技术的发展。

由于微电机经常是自动控制线路中不可缺少的元件，它的理论及实际使用问题引起了人们的注意。

在同步联结系统中使用的电机，可称为自动控制用微电机发展史中的“元老”。早在十九世纪中叶，俄国学者（A. II. 达维道夫、K. II. 坎斯旦金诺夫、B. Ф. 别特鲁舍夫斯基）及国外学者（凯斯列尔、乌依斯顿）已研究成功军事用的同步联结装置（如大炮射击的自动化）。以后利用变频的各种电气变流器（如整流开关）的系统也开始发展（И. Г. 马鲁金、包尔别-别那尔等人）。现在使用的几乎全部是恒频的感应式微电机（即自整角机）的系统。在自整角机理论及计算方面，M. II. 科斯琴科、Д. В. 瓦西里也夫、Д. A. 郭尔斯基、Г. И. 史杜尔曼及 A. Г. 约瑟非扬等人做了许多工作。A. Г. 约瑟非扬和 Д. В. 斯维卡尔尼克发明无接触自整角机。在自整角机理论方面工作的国外学者中应该提到皮里、来特、林维尔、武德沃特以及西门子公司、西德通用电气公司、美国通用电气公司、西屋公司的工程师们。

其他类型微电机（伺服电动机、测速发电机、旋转变压器）的理论工作在不久之前才大力开展起来。这里，应当提到 A. A. 巴别尔诺夫、И. Я. 列贺曼、E. M. 罗布辛娜、Г. И. 史杜尔曼、B. M. 卡加以及 K. M. 那尔西则等人的研究工作。

在本国及国外的技术资料中，都缺少这方面系统性的综述文献。因此，学习这个专业的高等学校学生遇到了相当大的困难，这些是促使作者写此参考书的原因。此书内容是以作者莫斯科动力学院讲授“自动装置中微电机”一课之讲义为基础。由于在教学计划中这门功课教学时间的限制，本书仅能对自动控制线路中常用的主要类型微电机进行研究。

作者在写本书时，认为读者对电机原理已经了解得很清楚。

本书的资料多半是独创的，亦是作者在微电机方面多年研究工作之结果。本书为作者著教学参考书的第一次尝试，因此十分希望读者指出该书的缺点和错误。

作者对技术科学副博士 H. A. 亚弗林斯基在阅初稿时所提出的宝贵意见表示谢意。

作　者

## 序 言

在自动控制、遥控及計算解答技术中所使用的微电机，按其所执行之任务可分四大类：

- 1) 伺服电动机；
- 2) 测速发电机；
- 3) 旋转变压器；
- 4) 同步联结系统用的电机。

在上述微电机中，除旋转变压器只可能是交流的外，其他既可能是交流又可能是直流的形式。

下面将简单地叙述一下各类型微电机之用途，并利用最简单的线路图说明其应用。研究较复杂之线路图是其他专业书的任务。

伺服电动机之用途为将输入的电气信号(控制电压)转变为轴上机械运动。在图 B-1

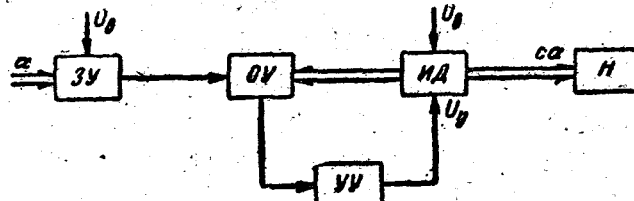


图 B-1 带有伺服电动机的自动控制线路图。

中示出具有伺服电动机之自动控制方框图。当由电网电压  $U_g$  激磁的发动机  $ZY$  (Зоводящее устройство) 转动  $\alpha$  角时，修整机构 ( $OY$ ) 将发出电气信号。机构  $OY$  的电气信号经放大机构  $YY$  放大后，成为控制电压  $U$ ，并加于伺服电动机  $M$  上 (伺服电动机由电网之电压  $U_g$  激磁)。由于它是直接或经过减速器与负载转轴相连接，因此带动后者转动。同时由于  $M$  与  $OY$  之间有机械的反饋，控制电压  $U$ ，将逐渐减小，当  $M$  转动  $\alpha$  角后， $U$  将等于零，伺服电动机停止旋转。结果负载轴转了  $\alpha$  角或与其成比例之  $c\alpha$  角。

测速发电机之用途为将机械旋转变成电气信号即输出电压。因此它可以用在各种不同的线路图中应用。在图 B-2 所示为利用测速发电机  $T$  测量任意机构  $M$  的瞬时转速的装置。测速发电机  $T$  借机械方法与机构  $M$  联结在一起。假设该机构转轴的转速为  $n$  转/分，当激磁电压  $U_g$  为恒定时，则测速发电机输出端的电势与转速成比例：

$$E = c'n.$$

测量该电势之电压表  $B$  的刻度可直接刻成“转/分”。

由于测速发电机输出端之电势

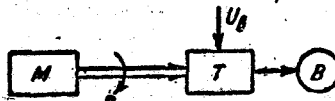


图 B-2 用测速发电机测量转速之线路图。

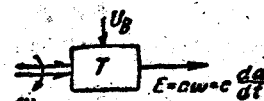


图 B-3 测速发电机输出电势。

$$E = c\Omega = c \frac{da}{dt}$$

与角速度成比例，即与轉动角  $a$  之一次微分成比例(图 B-3)，因此它可作为电气微分的元件。实际上，电气微分之线路是很复杂的，除测速发电机之外，还包括伺服电动机、放大器、迴轉变压器或电位計等。

最后，测速发电机还用于产生加速和阻尼信号的場合。

迴轉变压器<sup>①</sup>之任务是在输出端得到与轉子轉角的某种函数成比例的电压，例如与該角的正弦、余弦成比例(正弦、余弦迴轉变压器)，或者与轉角本身成比例(綫性迴轉变压器)。迴轉变压器之线路图示于图 B-4 中。

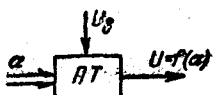


图 B-4 回转变压器线路图。

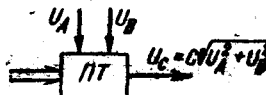


图 B-5 解三角题目用的回转变压器线路图。

迴轉变压器还可用于解某些三角題目。假設輸入与直角三角形两直角边成比例之电压  $U_A$  与  $U_B$ (图 B-5)，則输出电压  $U_C$  将与該三角形的斜边成比例。

同步联結系統用的电机用于使两个在机械上不相連接的軸同步或同相位的迴轉或旋轉。同步指示傳动和隨動傳动是同步联結理論的两个方面。前者只要求傳动很小的力矩，例如只为带动仪表(指示器)的示針。在图 B-6 中，当发动机构 3Y(发送机 I)轉动  $\alpha$  角度后，修整机构 OY(接收机 II)发生动作，接收机軸上的指示針 II 亦轉动与信号  $\alpha$  角成比例的角度  $c\alpha$ 。

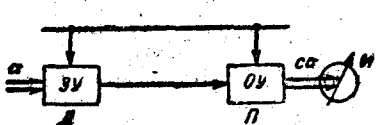


图 B-6 同步指示传送线路图。

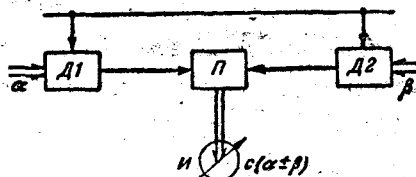


图 B-7 差动同步联结线路图。

在叙述伺服电动机时，在图 B-1 已示出隨動傳动线路图。由于修整机构(接收机)不能直接克服負載  $H$  的反轉矩，所以需要将信号放大，而后經過中間环节(伺服电动机)带动負載。

差动同步联結线路图示于图 B-7 中。其中  $A_1$  和  $A_2$  为两个发送机，而  $II$  为接收机(差动式电机)，如发送机  $A_1$  和  $A_2$  分別各得到发送信号角  $\alpha$  和  $\beta$  时，则接收机  $II$  随与  $\alpha$  和  $\beta$  角之和或差成比例的角度而动作。

自动裝置用微电机之理論是以普通电机理論为基础，但还有其一定的特点。許多在普通电机中可以忽略的地方，在这里却很重要。在微电机中，与繞組結構、定子轉子迭片装配、偏心度、槽及齒的存在、饱和、摩擦、滑动接触等因素有关的誤差問題极为重要。因此，对于工艺規程和文明生产应考慮得特別仔細。在設計師面前常常出現的問題是尽量縮小尺寸及重量，但由于自动裝置用微电机其磁路的饱和程度必須低(原則上讲，皆为利用程度較低的电机)，所以縮小尺寸及重量等問題經常是很費力才能解决的。

<sup>①</sup> 本书作者認為使用术语“迴轉变压器”比使用通常遇到的“旋轉变压器”合理，因为这种电机不像电动机一样地連續旋转，其轉子仅在一定角度內迴轉。

# 目 录

給中國讀者

前言

序言

## 第一篇 伺服电动机

第一章 交流伺服电动机的一般理論	1
1-1 結構、作用原理和接綫圖	1
1-2 等值电路及其参数	3
1-3 电流方程式	11
1-4 电磁功率和轉矩	14
1-5 椭圓磁場中的鐵耗及其对定子电流影响的計算	14
1-6 定子轉子繞組銅耗和电容器中的損耗	17
1-7 能量图。总机械功率和有效功率、輸入功率、效率、功率因数。电容器上的电压	18
1-8 获得圆形磁場的条件	19
1-9 伺服电动机的定子繞組	21
1-10 等值电路的参数	23
第二章 “理想”异步伺服电动机的理論	24
2-1 电磁功率和轉矩	24
2-2 机械特性和調節特性	27
2-3 控制功率和激磁功率。有效功率	28
第三章 幅值控制与相位控制的实际电机的理論	31
3-1 幅值控制时的电磁功率和轉矩	31
3-2 幅值控制时的机械特性和調節特性	33
3-3 調節的綫性及其保鑑	36
3-4 控制功率和激磁功率。功率因数。有效功率。效率	38
3-5 相位控制的电动机	41
3-6 自轉不存在的准则	44
3-7 轉子电阻对电机特性和利用程度的影响	47
3-8 轉子发热对电动机特性的影响	50
第四章 激磁电路接有电容器的电动机的理論。各种控制方法的比較	51
4-1 电磁功率与轉矩	51
4-2 机械特性与調節特性	53
4-3 調節的綫性及其保鑑	55
4-4 控制功率与激磁功率。功率因数。有效功率。效率。电容器上的电压	55
4-5 各种供电方法的比較	59
4-6 鼠籠式轉子电动机和杯形磁性轉子电动机的主要特性	61
第五章 直流伺服电动机	62
5-1 結構、作用原理和接綫圖	62

5-2 电枢控制的直流伺服电动机.....	64
5-3 磁极控制的直流伺服电动机.....	68
5-4 电极控制和磁极控制的电动机的特性比較以及它們和理想异步电动机特性的比較.....	72
<b>第六章 伺服电动机的电机械时间常数.....</b>	<b>72</b>
6-1 交流异步电动机的电机械时间常数.....	72
6-2 直流伺服电动机的电机械时间常数.....	75

## 第二篇 测速发电机

<b>第七章 交流测速发电机.....</b>	<b>77</b>
7-1 輸出特性.....	77
7-2 同步测速发电机.....	78
7-3 空心轉子式异步测速发电机及其作用原理.....	78
7-4 异步测速发电机輸出特性方程式.....	80
7-5 負載的大小和性質对异步测速发电机輸出特性的影响.....	82
7-6 异步测速发电机的誤差及其減小的方法.....	85
<b>第八章 直流测速发电机.....</b>	<b>90</b>
8-1 直流测速发电机的型式.....	90
8-2 輸出特性曲綫.....	91
8-3 直流测速发电机的誤差及減小方法.....	91

## 第三篇 回轉变压器

<b>第九章 回轉变压器的构造, 用途及作用原理.....</b>	<b>94</b>
9-1 回轉变压器的构造.....	94
9-2 正弦回轉变压器.....	95
9-3 副边补偿的正弦-余弦回轉变压器.....	97
9-4 原边补偿的正弦回轉变压器.....	98
9-5 線性回轉变压器.....	99
9-6 比例式回轉变压器.....	101
<b>第十章 四繞組回轉变压器的理論.....</b>	<b>102</b>
10-1 电压与电流的基本方程式.....	102
10-2 橫軸磁場未加补偿的正弦回轉变压器.....	106
10-3 定子有补偿繞組的正弦回轉变压器.....	109
10-4 轉子具有两个繞組的正弦-余弦回轉变压器.....	112
10-5 四繞組正弦-余弦回轉变压器。轉子反应所致誤差.....	114
10-6 線性回轉变压器.....	117
10-7 比例式回轉变压器.....	119
<b>第十一章 回轉变压器的高精确度繞組.....</b>	<b>122</b>
11-1 分布繞組的一般关系.....	122
11-2 定子与轉子的电勢.....	127
11-3 各种型式繞組的分析.....	129
11-4 繩組类型的选择与計算.....	132
11-5 由于定子与轉子齿結構引起的誤差.....	137

11-6 由导磁率的非恒值引起的誤差.....	140
-------------------------	-----

#### 第四篇 同步联結裝置用微电机

第十二章 同步电动机.....	142
12-1 同步联結裝置中微电机的主要工作指标.....	142
12-2 同步电动机的分类及应用范围.....	143
12-3 定子集中繞組的反应式电动机.....	143
12-4 定子集中繞組反应式电动机的静态和动态整步力矩.....	146
12-5 定子分布繞組的反应式电动机.....	150
12-6 定子分布繞組反应式电动机的理論.....	153
12-7 減速反应式电动机.....	166
12-8 磁滞电动机.....	168
第十三章 感应式同步联結系統用微电机.....	172
13-1 感应式同步联結系統用微电机的分类、性能及应用范围.....	172
13-2 三相同步联結系統中的自整角机.....	175
13-3 在指示状态下单相自整角机的工作原理.....	176
13-4 变压器工作状态下单相自整角机的工作原理.....	189
13-5 差动式自整角机.....	193
13-6 具有单軸同步繞組的单相自整角机.....	194
13-7 磁整步机.....	195
附录 苏联工厂生产的自动裝置用的一些微电机的技术数据.....	198
CII 系列他激直流伺服电动机 .....	198
ACM 型鼠籠式异步伺服电动机 .....	199
ACM 型电动机主要尺寸 .....	199
定子系集中繞組的 C4 系列反应式同步电动机(脉冲电动机) .....	200
C4 电动机的动态特性 .....	200
CT 系列反应式同步电动机(定子系分布繞組) .....	201
CT 型电动机的动态特性.....	201
自整角机.....	202

# 第一篇 伺服电动机

## 第一章 交流伺服电动机的一般理论

### 1-1 结构、作用原理和接线图

在定子上有两个空间位移  $90^\circ$  电角度的绕组  $Y$  和  $B$  的短路转子式异步电机，现在差不多都用作为交流伺服电动机(图 1-1)。绕组  $B$  恒接以电压  $U_0$ ，以后称它为激磁绕组(所有属于它的数值和参数都以脚码 0 表示)。绕组  $Y$  是控制绕组(脚码 Y)，只在需要转子转动时才加上控制电压  $U_y$ (即信号)。因此，在给予信号之前，转子应保持不动。为了在给予信号时产生转矩，电压  $U_y$  和  $U_0$  应有相位移，该相位移可以此电动机工作的线路中直接获得，或者在一个绕组的电路中(通常是激磁绕组)接入移相的元件(绝大多数的情况是电容器)，如图 1-2 所示。应用第一种方法时，激磁电压等于供电电网电压  $U_0$ ，在第二种情况下，激磁电压是电网电压  $U_0$  与电容器上的电压  $U_c$  的几何差，由此获得  $U_y$  和  $U_0$  之间的相位移。在这两种情况下，都用改变电压  $U_y$  数值( $U_0 = \text{常数}$  时)的方法来控制电动机。如两电压(激磁电压和控制电压)恒加于相应的两绕组，则按图 1-1 的线路也可获得第三种控制电动机的方法：控制电压的数值保持不变，但向量  $\vec{U}_y$  和  $\vec{U}_0$  间的夹角用迴轉向量  $\vec{U}_c$  的方法使其在  $0 \sim 90^\circ$  的范围内改变。此处应指出，向量  $\vec{U}_y$  从零位置的迴轉就是给予了信号，向量  $\vec{U}_y$  在零位置时，转子应保持不动。

以后按图 1-1 的线路控制电动机时将称为幅值控制或相位控制，这要根据还是改变  $U_y$  的数值，还是改变  $U_y$  相对于  $U_0$  的相位而定。亦可用同时改变  $U_y$  的数值和相位的方法来控制电动机，也就是应用幅值-相位控制。

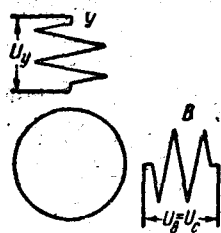


图 1-1 幅值控制或相位控制电动机的接线图。

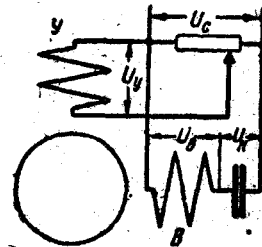


图 1-2 电容电动机的接线图。

图 1-2 的线路实质上还是较复杂的幅值-相位控制，因为当  $\vec{U}_y$  改变时，电流改变引起电压  $\vec{U}_c$  及  $\vec{U}_k$  的数值及相位在  $\vec{U}_c + \vec{U}_k$  中重新分配，为了简化起见，我们简称图 1-2 的线路是电容控制。

伺服电动机转子旋转的方向取决于两个电压(激磁电压和控制电压)在相位上谁领先。

从电机学一般理论得知，如果普通的单相异步电动机已在旋转，当切断起动绕组(相当于现在的控制绕组)时，若电机产生的转矩足够克服加于其轴上的阻力转矩，则电动机不会

停轉。这种自轉在伺服电动机的工作条件中是不允许的，因为在信号解除后，如果轉子仍不停轉，则即意味着失去了控制性。所以无自轉是对伺服电动机的基本要求。以后将闡述，可用增大轉子繞組电阻的方法来消除自轉。

对伺服电动机的第二个基本要求是它应具有适当的机械特性，就是在控制电压不变时，保証能穩定而廣寬地調節轉矩与轉速間的关系。图 1-3 中，曲綫 1 系普通工业用电动机的机械特性。起动时，电动机产生初始起动轉矩  $oa$ ；然后，在速度增高时，轉矩起先增大，达最大值，然后又减小。額定轉矩  $M_n$  相应于与同步速度相差很小的速度  $od$ ，即額定滑率  $s_n$  只有百分之几。从昇步电机理論得知，在其他条件相同时，轉子电阻愈小，则机械特性从空載轉速(点  $f$ )开始上升得愈快。因此，如果将該电阻增大到足够的程度，即可得到如图 1-3 中

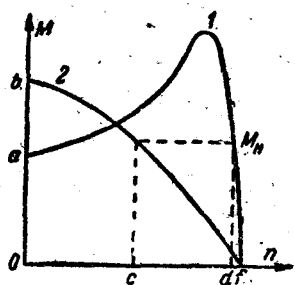


图 1-3 电动机的机械特性：

1—轉子电阻較小的；2—轉子电阻較大的。

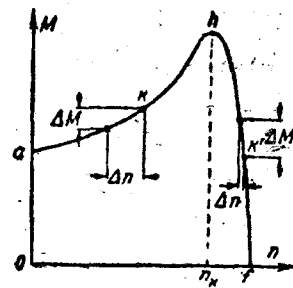


图 1-4 机械特性的穩定和不稳定部分。

曲綫 2 所示的特性，在这种情况下，轉矩从起動点( $n=0$ )开始不断下降，亦即初始起動轉矩同时也是最大轉矩。因为特性曲綫的斜率較小，从图可看出，在相当低的轉速  $oc$ (即相当大的滑率)时，就可得到与上述情况数值相同的額定轉矩  $M_n$ 。現在闡述图 1-3 中哪一种机械特性能滿足伺服电动机的要求。

图 1-4 中再次画出了轉子电阻較小的电动机的机械特性。假設电动机工作在相当于曲綫上升部分的  $h$  点的情况下，如果由于某种原因轉速稍許減低了  $\Delta n$ ，則轉矩減小  $\Delta M$ ，因而引起轉速的进一步降低，更使轉矩有更大的減小。依此类推，因此在这种情况下，工作是不稳定的。假使該电动机工作在相当于机械特性下降部分的  $k'$  点的情况下，则在轉速降低  $\Delta n$  时，轉矩增大，使轉子回复到原先的速度，因而滿足了稳定性的要求。这样的特性曲綫只有从  $f$  到  $h$  不大的一段(通常只有全部速度范围  $of$  的 10~20%)才具有稳定性。

图 1-3 中特性曲綫 2 的情况则不然。全部曲綫都是下降的，因此保証了工作的稳定性以及从空載到靜止状态能穩定地調節速度。

很明显，稳定性規律是要求

$$\frac{\Delta M}{\Delta n} < 0$$

或者轉換为无穷小的增量

$$\frac{dM}{dn} < 0.$$

換言之，轉矩的正增量应相当于速度的負增量，反之亦然。

从上述可知，不仅是自轉的不存在，而且要保証廣寬而穩定地調節轉速都与提高轉子的

电阻有关，該要求可由两个途径达到。第一，可应用普通的鋼片迭成的短路轉子，其上有鼠籠形的繞組，其銅條和短路环都用高电阻率的材料(例如黃銅或青銅)制成。这种电动机的结构与普通异步电动机沒有什么不同。另一解决問題的方法是用非磁性材料(通常用鋁)将轉子制成薄壁空心圓柱体的形式(杯形)。这种杯形轉子电动机的原理結構示于图 1-5，定子 *a* 用硅鋼片迭裝成，其上有二相繞組 *c*，該定子称为外定子。在它的里面还有不帶繞組的內定子 *b*，它也由硅鋼片迭裝成。軸 *K* 穿入內定子的孔中，它能在軸承 *e* 中旋轉，軸承 *e* 固定在端蓋 *f* 上。杯形轉子 *d* 裝在軸上，电动机工作时，轉子中产生渦流，它与旋轉磁場相互作用而产生轉矩。从图看出，內定子的用途仅在于減小經過氣隙磁通的磁阻。由于轉子壁很薄(零点几毫米)因而慣性矩很小，这对电动机所工作的系統的快速动作是极重要的。这一特点与结构简单、运转平稳无噪音、沒有无线电干扰結合起来，使杯形轉子电动机現在在各种自动控制、遙远控制系统及計算-解答技术中获得了十分广泛的应用。

在杯形轉子电动机的功率不超过 1~1.5 瓦的情况下，控制繞組和激磁繞組常常放在內定子上，这时外定子仅用于減小磁阻。这种結構使定子腔孔直徑較小时繞組的制造十分容易，并且使轉矩稍有增大。但同时轉子直徑却不得不加大些，以增大內定子放置繞組的空間，因而使慣性矩显著地增加。为了消除后一缺点，有时將一个繞組放置在內定子上，另一繞組放置在外定子上。

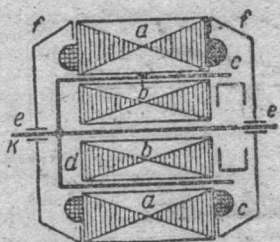


图 1-5 杯形轉子电动机的原理結構。

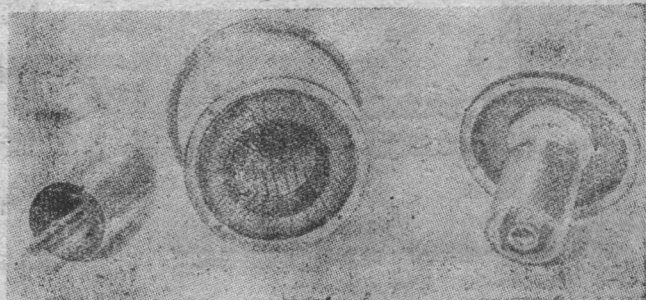


图 1-6 杯形轉子电动机的部件。

图 1-6 中示出杯形轉子电动机拆开后的部件(左—鋁質轉子，中—帶繞組的定子，右—裝有內定子的端蓋)。

如轉子用鐵磁材料制造，則杯形轉子电动机的結構还要更簡單。在这种情况下不需要內定子。不言而喻，这时慣性矩增加很大，影响快速动作。此外这种电动机比非磁性轉子的电机应用得少。毕竟这种电机还具有一些有价值的特性，有时应用它是恰当的，該問題以后将作較詳細的研討。

## 1-2 等值电路及其参数

伺服电动机在系統中工作的特点通常是：加在其上的电压和繞組中的电流不是对称的二相电压和电流系統，亦即归算到同一匝数，它們的数值不同，相位移角也不是  $90^\circ$ ，故兩繞組磁勢产生的旋轉磁場在一般情况下不是圆形；而是椭圆形。

为了进一步的研究，我們将对称分量法应用到二相系統，根据这个方法，任何数值不同、其間位移任意角度的时间向量  $\dot{A}$  和  $\dot{B}$  的非对称二相系統，都可分解成两个对称的系統，每一个系統都由两个数值相同、其間位移  $90^\circ$  角的两向量組成。其一是正序向量  $\dot{A}_1$  和  $\dot{B}_1$  的

系統，相序与原来的非对称系统相同；另一个是逆序向量  $\dot{A}_2$  和  $\dot{B}_2$  的系統，相序与原来的非对称系統相反。

图 1-7 中表示出原来的系統及其对称分量，从該圖可得下列关系：

$$\dot{B}_1 = j\dot{A}_1; \quad (1-1)$$

$$\dot{B}_2 = -j\dot{A}_2; \quad (1-2)$$

$$\dot{A} = \dot{A}_1 + \dot{A}_2; \quad (1-3)$$

$$\dot{B} = \dot{B}_1 + \dot{B}_2 = j(\dot{A}_1 - \dot{A}_2), \quad (1-4)$$

或者

$$j\dot{B} = \dot{A}_2 - \dot{A}_1. \quad (1-5)$$

从(1-3)和(1-5)式得：

$$\dot{A}_1 = \frac{\dot{A} - j\dot{B}}{2}; \quad (1-6)$$

$$\dot{A}_2 = \frac{\dot{A} + j\dot{B}}{2}. \quad (1-7)$$

方程式(1-6)和(1-7)便有可能根据原来的向量  $\dot{A}$  及  $\dot{B}$  确定对称分量  $\dot{A}_1$  和  $\dot{A}_2$  的数值及方向。分量  $\dot{B}_1$  和  $\dot{B}_2$  再按(1-1)和(1-2)式确定。图 1-8 表示根据方程式(1-6)、(1-7)、(1-1)和(1-2)应用图解确定  $\dot{A}_1$ 、 $\dot{A}_2$ 、 $\dot{B}_1$ 、 $\dot{B}_2$ 。

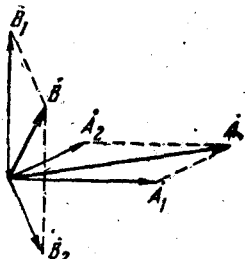


图 1-7 非对称的向量系統及  
其对称分量。

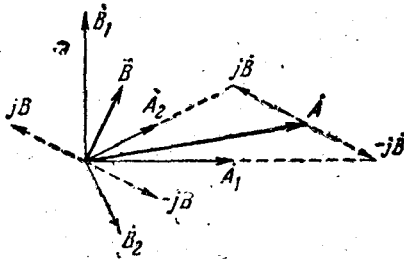


图 1-8 根据原来的向量确  
定对称分量。

假如将有繞組  $Y$  及  $B$ （它們空間分布位移  $90^\circ$  电角度，其中的电流  $\dot{I}_y$  和  $\dot{I}_s$  在時間上位移任意角度）的电机作为二相系統来研究，则  $\dot{I}_y$  和  $\dot{I}_s$  所产生的磁勢与乘积  $\dot{I}_y w_y$  和  $\dot{I}_s w_s$  成正比。这里  $w_y$  和  $w_s$  是繞組  $Y$  和  $B$  的有效匝数，亦即实际匝数乘以相当的繞組系数。这些磁勢（在時間上的位移角度与电流相同）共同作用的結果产生旋轉磁場。仅在磁勢相等并且相互位移  $90^\circ$  时，該磁場才是圓形；在任何其它的位移角度或磁勢数值不等时，磁場都是椭圆形的。

必須指出，如用磁勢  $\dot{I}_y w_y$  和  $\dot{I}_s w_s$  代替向量  $\dot{A}$  和  $\dot{B}$ ，則上述方程式(1-1)~(1-7)仍然正确。亦可利用正比于磁勢的电流值

$$\frac{\dot{I}_y w_y}{w_y} = \dot{I}_y \text{ 和 } \frac{\dot{I}_s w_s}{w_y} = \dot{I}_s k,$$

式中

$$k = \frac{w_s}{w_y}$$

系激磁繞組和控制繞組間的变换系数。

按(1-1)~(1-7)式給出：

$$\dot{I}_s k = j\dot{I}_y, \text{ 或者 } \dot{I}_s = j \frac{\dot{I}_y}{k}; \quad (1-8)$$

$$\dot{I}_{s,k} = -j\dot{I}_{y_1}, \text{ 或者 } \dot{I}_{s_1} = -j\frac{\dot{I}_{y_1}}{k}; \quad (1-9)$$

$$\dot{I}_y = \dot{I}_{y_1} + \dot{I}_{y_2}; \quad (1-10)$$

$$\dot{I}_s = \dot{I}_{s_1} + \dot{I}_{s_2} = j\frac{\dot{I}_{y_1} - \dot{I}_{y_2}}{k}, \quad (1-11)$$

或者

$$jk\dot{I}_s = \dot{I}_{y_1} - \dot{I}_{y_2}, \quad (1-12)$$

从方程式(1-10)和(1-12)得:

$$\dot{I}_{y_1} = \frac{\dot{I}_y - jk\dot{I}_s}{2}; \quad (1-13)$$

$$\dot{I}_{y_2} = \frac{\dot{I}_y + jk\dot{I}_s}{2}. \quad (1-14)$$

如以  $\dot{I}_y$ ,  $\dot{I}_{y_1}$ ,  $\dot{I}_{y_2}$ ,  $\dot{I}_{s,k}$ ,  $\dot{I}_{s_1,k}$  和  $\dot{I}_{s_2,k}$  代替  $\dot{A}$ ,  $\dot{A}_1$ ,  $\dot{A}_2$ ,  $\dot{B}$ ,  $\dot{B}_1$  和  $\dot{B}_2$ , 則图 1-7 和 1-8 所示向量图仍然正确。

分解磁势  $\dot{I}_y w_y$  和  $\dot{I}_s w_s$  或正比于它们的电流  $\dot{I}_y$  和  $\dot{I}_s$  成为两对称系统, 即有可能将电机在一般情况下产生的椭圆磁场当作两个圆形磁场迭加的结果来研究。其中一个圆形磁场(正序)系由正序电流  $\dot{I}_{y_1}$  和  $\dot{I}_{s_1,k}$  产生, 另一圆形磁场(逆序)系由逆序电流  $\dot{I}_{y_2}$  和  $\dot{I}_{s_2,k}$  产生。由于正序和逆序系统中相序的不同, 磁场旋转的方向相反。在个别情况下, 一个绕组中没有电流, 例如  $\dot{I}_y = 0$ , 从(1-8)~(1-10)式得:

$$\dot{I}_{y_1} = -\dot{I}_{y_2}; \quad (1-15)$$

$$k\dot{I}_{s_1} = k\dot{I}_{s_2} = \frac{k\dot{I}_s}{2}. \quad (1-16)$$

这种情况下电流的向量图示于图 1-9, 因为所有电流(或磁势)的绝对值是相同的:

$$I_{y_1} = I_{y_2} = kI_{s_1} = kI_{s_2},$$

则它们产生两个大小相等、旋转方向相反的圆形磁场, 迭加的结果产生相对于定子不动的脉振磁场。

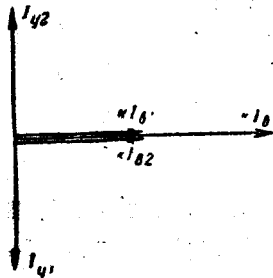


图 1-9  $I_y = 0$  时的电流向量图。

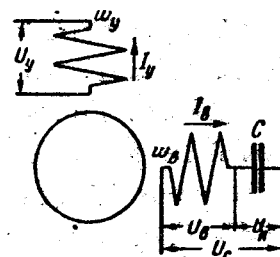


图 1-10 电动机的接线图。

以后我们将以伺服电动机最一般的接线图如图 1-10 所示为出发点, 其中电压  $\dot{U}_y$  和  $\dot{U}_s$  的数值和相位都不同。假定  $\dot{U}_y$  和  $\dot{U}_s$  不同相以及电容器的容抗等于零, 即认为  $\dot{U}_c = \dot{U}_s$ , 则得到幅值控制或相位控制的情况; 假定  $\dot{U}_y$  和  $\dot{U}_s$  数值不同, 但同相, 则得到电容电动机的线路。

### $\gamma$ 相电压

$$\dot{U}_y = \dot{U}_{y_1} + \dot{U}_{y_2} = \dot{I}_{y_1} Z_{y_1} + \dot{I}_{y_2} Z_{y_2}; \quad (1-17)$$

## B 相电压

$$\dot{U}_o = \dot{U}_{o_1} + \dot{U}_{o_2} = \dot{I}_{o_1} Z_{o_1} + \dot{I}_{o_2} Z_{o_2}, \quad (1-18)$$

式中  $Z_{y_1}$  和  $Z_{y_2}$  系对于绕组 Y 的轴线的正序和逆序总阻抗,  $Z_{o_1}$  和  $Z_{o_2}$  系对于绕组 B 的轴线的正序和逆序总阻抗。

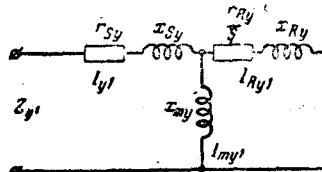
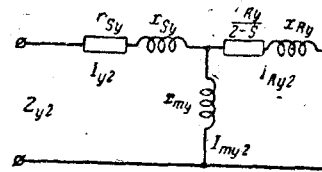
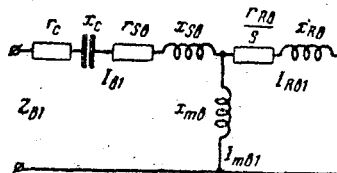
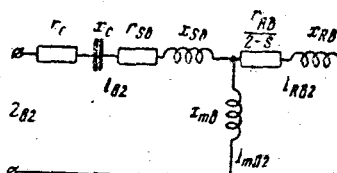
图 1-11  $Z_{y1}$  的等值电路。图 1-12  $Z_{y2}$  的等值电路。图 1-13  $Z_{B1}$  的等值电路。图 1-14  $Z_{B2}$  的等值电路。

图 1-11~1-14 画出了阻抗  $Z_{y1}$ ,  $Z_{y2}$ ,  $Z_{o1}$ ,  $Z_{o2}$  的等值电路适用于图 1-10 的电动机接线, 在这些等值电路中:

$x_o$  —— 电容器 C 的电抗;

$r_o$  —— 电容器 C 的电阻(损耗电阻);

$x_{s_y}$  和  $x_{s_B}$  —— 定子绕组 Y 和 B 的电抗;

$r_{s_y}$  和  $r_{s_B}$  —— 定子绕组 Y 和 B 的电阻;

$x_{R_y}$  和  $r_{R_y}$  —— 归算到定子绕组 Y 相的转子绕组电抗和电阻;

$x_{R_B}$  和  $r_{R_B}$  —— 归算到定子绕组 B 相的转子绕组电抗和电阻;

$x_{m_y}$  —— 相当于气隙磁通的对于 Y 相轴线的电抗;

$x_{m_B}$  —— 相当于气隙磁通的对于 B 相轴线的电抗;

$s$  —— 相对于正序磁场的转子滑率;

$2-s$  —— 相对于逆序磁场的转子滑率。

在接线图 1-11~1-14 中, 激磁支路的阻抗  $x_{m_y}$  (或  $x_{m_B}$ ) 认为是纯电抗, 即不考虑铁耗。下面阐述考虑该损耗的方法。此外, 以后的分析不考虑饱和的影响(即认为等值电路的所有参数都是常数)和磁场高次谐波的影响。

B 相轴线的阻抗可用 Y 相的阻抗和变换系数  $k$  来表示。因为绕组形状相同时, 漏感和漏抗与实际匝数的平方成正比:

$$\frac{x_{s_B}}{x_{s_y}} = \left( \frac{w_s k_{wy}}{w_y k_{ws}} \right)^2,$$

在这种情况下, 可以认为绕组系数  $k_{wy}$  和  $k_{ws}$  彼此相等, 因而得

$$x_{s_B} = x_{s_y} \left( \frac{w_s}{w_y} \right)^2 = k^2 x_{s_y}. \quad (1-19)$$

因为电抗  $x_m$  及  $x_R$  与有效匝数成正比，则

$$x_{R\theta} = k^2 x_{Ry} \quad (1-20)$$

及

$$x_{m\theta} = k^2 x_{my} \quad (1-21)$$

至于电阻  $r_{S\theta}$ ，则当每槽内铜的总截面积保持不变，即绕组导线截面积与匝数成反比变化时，可用电阻  $r_{Sy}$  和变换系数的平方来表示它。实际上，当绕组每匝长为  $l_w$ ，导线截面积为  $Q_y$  和  $Q_\theta$ ，以及绕组系数相等时

$$r_{S\theta} = \rho \frac{l_w w_\theta}{Q_\theta k_{w\theta}} = \rho \frac{l_w k w_y}{Q_y k_{wy}} = k^2 \rho \frac{l_w w_y}{Q_y k_{wy}} = k^2 r_{Sy}. \quad (1-22)$$

必须指出，方程式(1-19)和(1-22)只在这样的情况下才是正确的：如前所述，两绕组有相同的形状，即分布在同样数目的槽内，有相同的端部连接以及槽的填充系数相等。假使放置每相绕组的槽数  $N_y$  和  $N_\theta$  不同

$$N_y = a N_\theta,$$

则在所有槽的截面积相同和绕组填充系数相同时

$$\frac{w_y}{k_{wy} N_y} Q_y = \frac{w_\theta}{k_{w\theta} N_\theta} Q_\theta,$$

因此

$$Q_\theta = Q_y \frac{w_y}{w_\theta} \cdot \frac{k_{w\theta}}{k_{wy}} \cdot \frac{N_\theta}{N_y} = \frac{Q_y}{ka} \cdot \frac{k_{w\theta}}{k_{wy}}$$

及

$$r_{S\theta} = \rho \frac{l_w w_\theta}{Q_\theta k_{w\theta}} = \rho \frac{l_w k w_y}{Q_y \frac{k^2 w_\theta}{k_{wy}}} = \rho \frac{l_w k \frac{w_y}{k_{wy}}}{Q_y \frac{k^2 w_\theta}{k_{wy}}} = k^2 a \left( \frac{k_{wy}}{k_{w\theta}} \right)^2 r_{Sy}. \quad (1-22a)$$

因为绕组铜的截面积是标准化的，因此在实际情况中

$$Q_\theta = \frac{Q_y}{k} \text{ 或 } \frac{Q_y}{ka} \cdot \frac{k_{w\theta}}{k_{wy}} \text{ (假使 } N_y \neq N_\theta \text{ )}$$

仅是近似的。如果绕组  $B$  导线的截面积不是绕组  $y$  导线的截面积的  $\frac{1}{k}$  倍（或是  $\frac{1}{ka} \frac{k_{wy}}{k_{w\theta}}$  倍），

而是它的  $t$  倍（或是  $\frac{1}{ta} \frac{k_{wy}}{k_{w\theta}}$  倍），则(1-22)式成为

$$r_{S\theta} = \rho \frac{l_w k w_y}{Q_y \frac{k^2 w_\theta}{k_{wy}}} = k t r_{Sy}, \quad (1-22c)$$

而(1-22a)式变为

$$r_{S\theta} = \rho \frac{l_w k \frac{w_y}{k_{wy}}}{Q_y \frac{k^2 w_\theta}{k_{wy}}} = k t a \left( \frac{k_{wy}}{k_{w\theta}} \right)^2 r_{Sy}. \quad (1-22b)$$

最后一个方程式是最一般的，因为当  $a=1$ ,  $t=k$  及  $k_{wy}=k_{w\theta}$ ，即得(1-22)式；当  $a \neq 1$  及  $t=$